

ЛАБОРАТОРНАЯ  
ТЕХНИКА

УДК 533.599

СОВРЕМЕННЫЕ КОМБИНИРОВАННЫЕ  
СВЕРХВЫСОКОВАКУУМНЫЕ НАСОСЫ ДЛЯ ЦКП “СКИФ”<sup>1</sup>

© 2024 г. А.М. Семенов<sup>a, b, \*</sup>, А.А. Краснов<sup>a, c</sup>

<sup>a</sup> *Институт ядерной физики им. Г.И. Будкера*

*Сибирского отделения Российской академии наук*

*Россия, 630090, Новосибирск, пр. Акад. Лаврентьева, 11*

<sup>b</sup> *Новосибирский государственный технический университет*

*Россия, 630073, Новосибирск, пр. К. Маркса, 20*

<sup>c</sup> *Новосибирский государственный университет*

*Россия, 630090, Новосибирск, ул. Пирогова, 1*

*\*e-mail: A.M.Semenov@inp.nsk.su*

Поступила в редакцию 23. 11. 2023г.

После доработки 24.04.2024 г.

Принята к публикации 25.04.2023 г.

В вакуумных системах ускорителей заряженных частиц все чаще применяют комбинированные малогабаритные сверхвысоковакуумные насосы на базе нераспыляемых геттеров и магниторазрядных насосов в одном корпусе. Данный тип насосов будет применяться в синхротроне 4+ поколения ЦКП “СКИФ”. В ИЯФ СО РАН был изготовлен и протестирован прототип комбинированного насоса с быстротой откачки водорода 1000 л/с. Представлены конструкция насоса, а также результаты измерений для различных газов.

---

<sup>1</sup> Материалы 28-й конференции по ускорителям заряженных частиц “RuPAC’23”, г. Новосибирск

## 1. ВВЕДЕНИЕ

В настоящее время в Новосибирске идет строительство источника синхротронного излучения (СИ) 4+ поколения ЦКП “СКИФ” [1] с рекордно малым эмиттансом пучка (75 пм·рад при энергии 3 ГэВ). Одним из условий получения рекордных параметров и проектного времени жизни (более 10 часов) пучка является сверхвысокий динамический вакуум на уровне  $10^{-9}$  Торр в накопительном кольце “СКИФ”. Достижение столь низкого давления остаточных газов в условиях интенсивного синхротронного излучения требует применения мощной системы откачки [2].

Широкое распространение в вакуумных системах ускорителей получили ионно-геттерные магниторазрядные насосы. Но, к сожалению, увеличение скорости откачки данных насосов сопряжено с увеличением как габаритов, так и массы. Данное обстоятельство не позволяет достичь требуемых параметров откачивающей системы на основе магниторазрядных насосов из-за пространственных ограничений на размещение вакуумных элементов в накопителе “СКИФ”. Существенно меньшими масса-габаритными параметрами обладают геттерные насосы, в которых спеченный геттерный материал в виде пластинок или дисков уложен в картридж, снабженный нагревателем для термической активации геттера. Данные насосы связывают газ за счет хемосорбции, поэтому они не откачивают инертные газы [3], а также насыщенные углеводороды, составляющие в сумме несколько процентов от общего количества молекул газа, десорбирующихся с внутренней поверхности вакуумных систем. Если к геттерному насосу, обладающему большой скоростью откачки, добавить небольшой насос, способный откачивать химически пассивные газы, например магниторазрядный, то получится универсальный комбинированный насос, обладающий малыми габаритами и способный откачивать весь спектр остаточных газов.

Впервые данный тип насоса был разработан и изготовлен фирмой SAES Getters (Италия) [4]. В ИЯФ СО РАН был изготовлен и протестирован прототип комбинированного насоса с скоростью откачки 1000 л/с по водороду и 23 л/с по аргону.

В данной статье представлены результаты измерения скорости откачки комбинированного насоса от количества поглощенного газа для водорода, азота, метана

и монооксида углерода, а также измерен предельный вакуум от количества поглощенного аргона.

## 2. ОПИСАНИЕ ЭКСПЕРИМЕНТАЛЬНОЙ УСТАНОВКИ И МЕТОДИКИ ИЗМЕРЕНИЯ

Активационные и газопоглощающие характеристики прототипа комбинированного насоса измерялись на специализированной экспериментальной установке (рис. 1.) Предварительная откачка системы проводилась турбомолекулярной станцией, включающей в себя турбомолекулярный насос ( $TMP_1$ ) и безмасляный мембранный насос ( $MP$ ). Высоковакуумная откачка осуществлялась турбомолекулярным насосом  $TMP_2$ . От напуска воздуха до атмосферного давления со стороны  $TMP_1$  и  $MP$  был установлен аварийный электрический клапан  $VR_3$ . Измерение форвакуума и высокого вакуума осуществлялось широкодиапазонным датчиком давления марки PKR 251 фирмы Pfeiffer, состоящим из датчика Pirani и датчика давления с холодным катодом, и расположенным на откачной станции.

**Рис. 1.** Стенд для измерения коэффициента термического газовыделения:  $VR_1$  – цельнометаллические угловые клапаны;  $IG$  – ионизационный датчик давления с горячим катодом типа Bayard-Albert;  $FRG$  – широкодиапазонный датчик давления от  $10^{-10}$  мбар до 1000 мбар;  $TMP$  – турбомолекулярный насос;  $MP$  – безмасляный форвакуумный (мембранный) насос.

Напуск газа в систему выполнялся через игольчатый натекаТЕЛЬ  $VF$  и капилляр  $C$  (молекулярная проводимость по водороду равна  $2.8 \cdot 10^{-3}$  л/с). Откачка системы инъекции проводилась турбомолекулярной станцией через вакуумные клапаны  $VR_4$  и  $VR_5$ . Для контроля давления напускаемого газа использовались стрелочный манометр и емкостной датчик давления “Baratron”.

Измерение давления в системе выполнялось датчиком давления с горячим катодом  $IG_1$ . Измерение парциальных давлений газов проводились при помощи квадрупольного масс-спектрометра  $RGA$  фирмы SRS (Стэнфорд, США). Датчик давления с горячим

катодом  $IG_2$  необходим для контроля давления во время предварительного прогрева и активации геттера.

До проведения экспериментов весь стенд прогревался при температуре 220–240°C, чтобы уменьшить десорбцию со стенок камеры. Также до проведения экспериментов были измерены эффективная быстрота откачки турбомолекулярного насоса  $TMP_2$ , молекулярная проводимость капилляра и коэффициенты чувствительности датчиков давления с горячим катодом по каждому газу ( $H_2$ ,  $CO$ ,  $Ar$ ). В табл. 1 приведена информация по этим величинам для данных газов. После каждого напуска воздуха до атмосферного давления проводилась калибровка всех измерителей вакуума. В начале экспериментов клапан  $VR_1$  был закрыт. Затем клапан открывался, и инжектируемый газ начинал поступать в тест-камеру через капилляр. Газовый поток в тест-камеру определяется выражением

$$Q_{total} = C (P_{in} - P_{out}), \quad (1)$$

где  $C$  [л/с] – канал с калиброванной проводимостью,  $P_{in}$ ,  $P_{out}$  [Торр] – давление на входе и выходе капилляра  $C$ .

**Таблица 1.** Молекулярная проводимость капиллярного канала, эффективная быстрота откачки и коэффициент чувствительности датчиков давления с горячим катодом для разных газов

Газы	Молекулярная проводимость $C$ , л/с	Эффективная быстрота откачки $S_{эфф}$ , л/с	Коэффициент чувствительности $K_{IG1}$	Коэффициент чувствительности $K_{IG2}$
$H_2$	$2.8 \cdot 10^{-3}$	28	2.3	2.3
$CO$	$7.6 \cdot 10^{-4}$	8.4	1	1
$Ar$	$6.36 \cdot 10^{-4}$	7	0.77	0.74

Быстрота откачки геттера  $S_{NEG}$  может быть определена в течение напуска газа как:

$$S_{NEG} = \frac{C \cdot (P_{in} - P_{out})}{K \cdot (P_{IG1 \text{ after}} - P_{IG1 \text{ before}})}, \quad (2)$$

где  $S_{NEG}$  [л/с] – скорость откачки NEG насоса;  $C$  [л/с] – молекулярная проводимость капиллярного канала;  $P_{IG1 \text{ after}}$  [Торр] – давление после напуска газа датчика давления  $IG_1$ ;

$P_{IG1 \text{ before}}$  [Торр] – давление до напуска газа датчика давления  $IG_1$ ;  $K$  – коэффициент чувствительности.

Сорбционная емкость определялась как количество молекул, при поглощении которых быстрота откачки комбинированного насоса не достигает постоянного значения при данном потоке, равном быстроте откачки самого магниторазрядного насоса.

$$Doze = \int_0^t Q_{total} dt, \quad (3)$$

где  $Q_{total}$  [л·Торр/с] – полный поток газа;  $t$  [с] – время измерения.

### 3. ОПИСАНИЕ ПРОТОТИПА КОМБИНИРОВАННОГО ВАКУУМНОГО НАСОСА

В комбинированном насосе применяется магниторазрядный насос триодного типа с ячейкой, так называемой “StarCell” производства АО “Катод”, быстрота действия которого 40 л/с по азоту. Диаметр анодной ячейки 20 мм. Длина ячейки – 25 мм. Зазор между анодом и катодом составляет 5 мм, а количество таких ячеек равнялось 33. Полный размер анодного блока: ширина – 120 мм, длина – 80 мм. Величина магнитной индукции – 0.12 Тл. Каждый катод представляет из себя сваренные между собой титановые пластины толщиной 1.5 мм с выдавленными двенадцатью “ребрами” под углом 30° относительно друг друга (рис. 2). Присоединительный фланец Ду 40 типа Conflat.

**Рис. 2.** Электродный блок с катодами в виде “StarCell”

Как уже не раз сообщалось, фирма АО “Полема” производит нераспыляемые газопоглотители в больших количествах для атомной энергетики и нефтегазовой промышленности [5]. Первые вакуумные насосы на базе геттеров Ti-Zr-Al производства фирмы АО “Полема” были изготовлены из таблеток следующих размеров: диаметром  $13 \pm 0.5$  мм, толщиной  $3 \pm 0.5$  мм и пористостью 60%. Более подробно с результатами можно ознакомиться в [6, 7].

Насос изготовлен из геттерных дисков. Внешний диаметр каждого диска 25 мм, толщина 1.6 мм, пористость 30%, внутренний диаметр 8 мм для размещения нагревателя. Химический состав нераспыляемого газопоглотителя Ti-Zr-Al. 30 дисков

последовательно установлено в ряд с зазором 1.5 мм в каждой “колонне”. Суммарная площадь составляет 1600 см<sup>2</sup>, а вес геттера – 360 г. Количество “колонн” равняется шести. Высота (от фланца до торца геттерного насоса) не превышает 130 мм. Температура контролируется термопарой типа “К”. Для снижения мощности нагревателя в два раза используется один защитный экран снаружи. Геттерный насос располагается на фланцевом соединении типа Conflat Ду 100. 3D-изображение комбинированного насоса представлено на рис. 3. Изучение газопоглощающих и активационных параметров геттерной составляющей комбинированного насоса было успешно выполнено ранее и представлено в работах [8, 9].

**Рис. 3.** 3D-изображение комбинированного насоса.

#### 4. РЕЗУЛЬТАТЫ И ОБСУЖДЕНИЕ

До начала измерений весь стенд прогревался при температуре 230°C в течение 24 часов для уменьшения фонового давления. После охлаждения до комнатной температуры геттер активировался при максимальной температуре (650°C) в течение 1 часа.

Измерения скорости откачки по различным газам выполнялись после активации геттера при температуре 650°C и при охлаждении геттерного насоса до комнатной температуры. Измерения сорбционной емкости для каждого газа представлена на рис.4. Результаты хорошо согласуются с ранее проведенными исследованиями свойств геттерных насосов [8].

**Рис. 4.** Сорбционная емкость комбинированного насоса для различных газов.

Появление микротечей, которые сложно или невозможно устранить без напуска воздуха до атмосферного давления, представляет собой довольно распространенное явление в сложных электровакуумных установках. Поэтому способность откачивать хотя и небольшие, на уровне менее 10<sup>-7</sup> л·Торр/с, но непрерывно поступающие потоки молекул воздуха, сохраняя необходимый уровень вакуума, является важной

характеристикой откачивающей системы. При этом наибольшую опасность для комбинированного насоса представляет аргон, который откачивается только маломощной магниторазрядной частью. Очевидно, накопление аргона в магниторазрядных ячейках должно привести к увеличению предельного давления по аргону, что может повлиять на “вакуумное” время жизни пучка уже при давлении аргона порядка  $10^{-10}$  Торр, поскольку сечение рассеяния релятивистских электронов пропорционально квадрату заряда ядра. Именно это обстоятельство определило выбор магниторазрядной ячейки триодного типа “StarCell”, обладающей наибольшей быстротой откачки и сорбционной емкостью по инертным газам.

На рис. 5 показано измеренное равновесное давление аргона в зависимости от поглощенного количества аргона. Можно заметить, что давление аргона находится на приемлемом уровне вплоть до поглощенной дозы порядка  $1 \text{ л} \cdot \text{Торр}$ . Такую дозу аргона возможно набрать при непрерывном натекании атмосферного воздуха через течь уровня  $10^{-7} \text{ л} \cdot \text{Торр}$  в течение 30 лет.

**Рис. 5.** Равновесное давление в системе от количества поглощенного аргона.

В табл. 2 представлены результаты измерения параметров комбинированного насоса производства ИЯФ СО РАН и параметры комбинированного насоса NEXToTorr D1000-StarCell фирмы SAES Getters [4].

**Таблица 2.** Экспериментальные результаты для комбинированного насоса производства ИЯФ СО РАН и параметры насоса NEXToTorr D1000-StarCell фирмы SAES Getters

	Мах скорость откачки по $\text{H}_2$ , л/с	Мах скорость откачки по $\text{CO}$ , л/с	Сорбционная емкость по $\text{CO}$ , л·Торр*	Мах скорость откачки по $\text{CH}_4$ , л/с	Мах скорость откачки по $\text{N}_2$ , л/с	Сорбционная емкость по $\text{N}_2$ , л·Торр*

ИЯФ СО РАН	1000	650	20	26	320	10
NEXTorr D1000- StarCell	1000	580	6	30	320	2.5

\*Сорбционная емкость достигается, когда быстрота откачки равняется скорости откачки магниторазрядного насоса.

## 5. ЗАКЛЮЧЕНИЕ

1. Предложена конструкция комбинированного насоса, объединяющего в себе магниторазрядный насос и высоковакуумных насос на базе нераспыляемого геттера.

2. Измерены быстрота откачки и сорбционная емкость комбинированного насоса для таких газов как водород, монооксид углерода, метан, азот, аргон.

3. Получена зависимость равновесного давления аргона от поглощенного количества аргона.

4. Данные насосы будут установлены в инжекционной части и накопителе ЦКП “СКИФ”.

## СПИСОК ЛИТЕРАТУРЫ

1. ЦКП “СКИФ” <https://srf-skif.ru/>

2. Анашин В.В., Гусев Г.А., Жуков А.А., Краснов А.А., Кузьминых В.С., Пиминов П.А., Семенов А.М. // Вакуумная наука и техника: Материалы XXIX научно-технической конференции с участием зарубежных специалистов. Москва: Электровакуумные технологии, 2022. С. 163.

3. Manini P., Maccallini P. // Proceedings of the 2017 CERN-Accelerator-School course on a Vacuum for Particle Accelerators. Glumslöv, 2017. P. 137.

4. Официальный сайт фирмы SAES Getters: [https://www.saesgetters.com/wp-content/uploads/sites/5/2024/02/NEXTorr\\_D1000\\_StarCell\\_2024-1.pdf](https://www.saesgetters.com/wp-content/uploads/sites/5/2024/02/NEXTorr_D1000_StarCell_2024-1.pdf)

5. <http://www.polema.net/oblasti-primenenija.html>

6. Драничников А.Н., Краснов А.А., Семенов А.М. // Прикладная физика. 2017. № 2. С. 73.

7. Анашин В.В., Краснов А.А., Семенов А.М. // ПТЭ. 2020. № 6. С. 109.

8. Краснов А.А., Семенов А.М. // Известия РАН. Серия физическая. 2023. Т. 87. № 5. С. 646.

9. Краснов А.А., Семенов А.М. // Вакуумная наука и техника: Материалы XXIX научно-технической конференции с участием зарубежных специалистов. Москва: Электровакуумные технологии, 2022. С. 63.

## ПОДПИСИ К РИСУНКАМ

**Рис. 1.** Стенд для измерения коэффициента термического газовыделения:  $VR_1$  – цельнометаллические угловые клапаны;  $IG$  – ионизационный датчик давления с горячим катодом типа Bayard-Albert;  $FRG$  – широкодиапазонный датчик давления от  $10^{-10}$  мбар до 1000 мбар;  $TMP$  – турбомолекулярный насос;  $MP$  – безмасляный форвакуумный (мембранный) насос.

**Рис. 2.** Электродный блок с катодами в виде “StarCell”.

**Рис. 3.** 3D-изображение комбинированного насоса.

**Рис. 4.** Сорбционная емкость комбинированного насоса для различных газов.

**Рис. 5.** Равновесное давление в системе от количества поглощенного аргона.



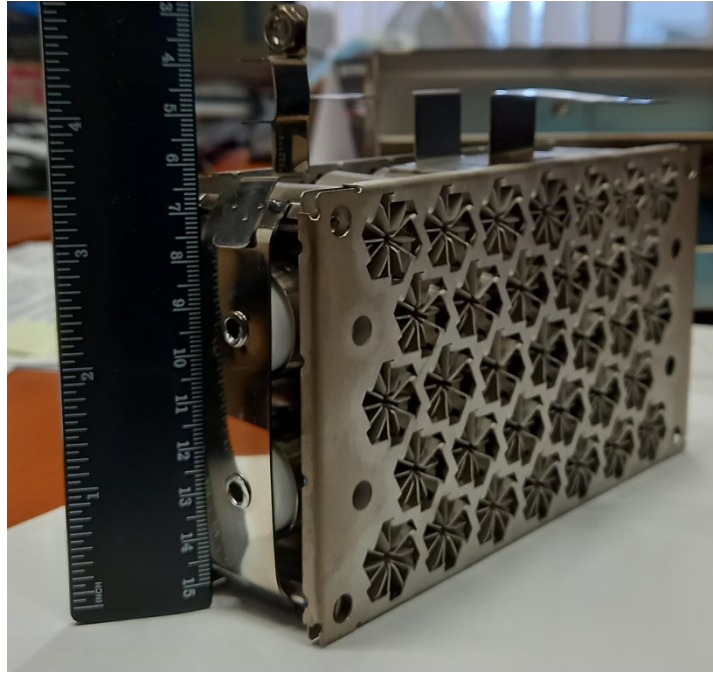


Рис. 2

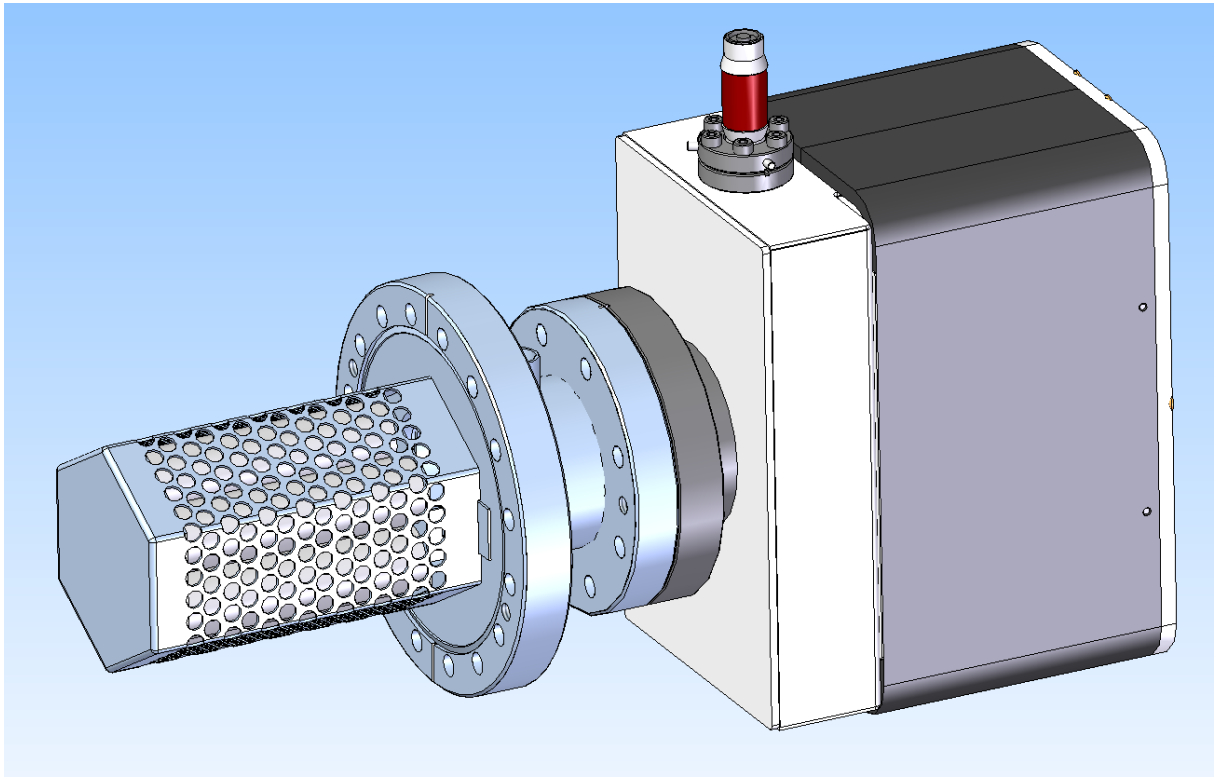


Рис. 3

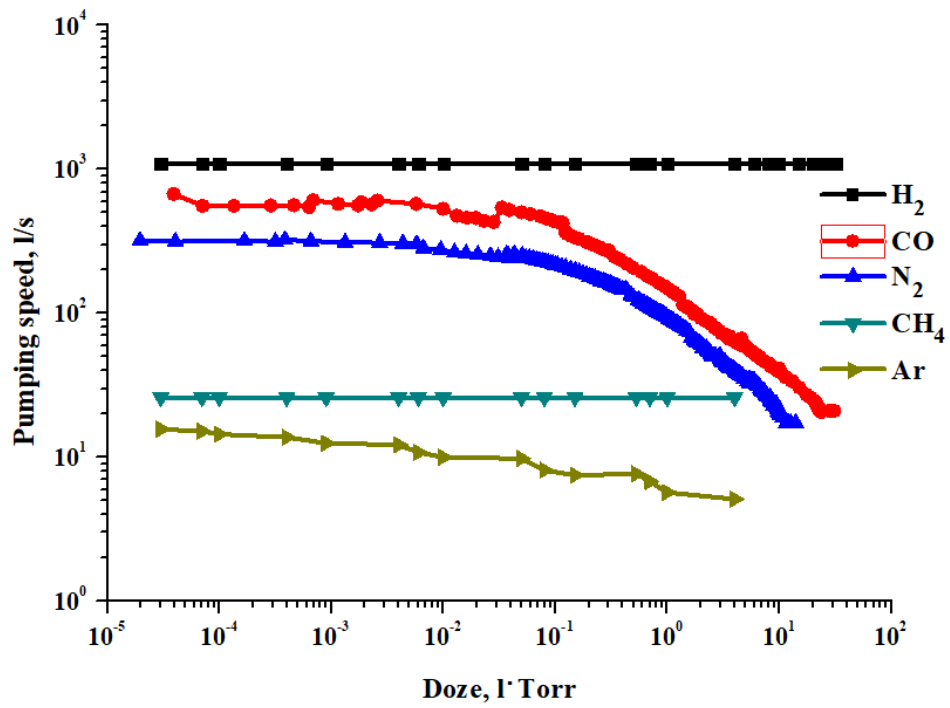


Рис. 4

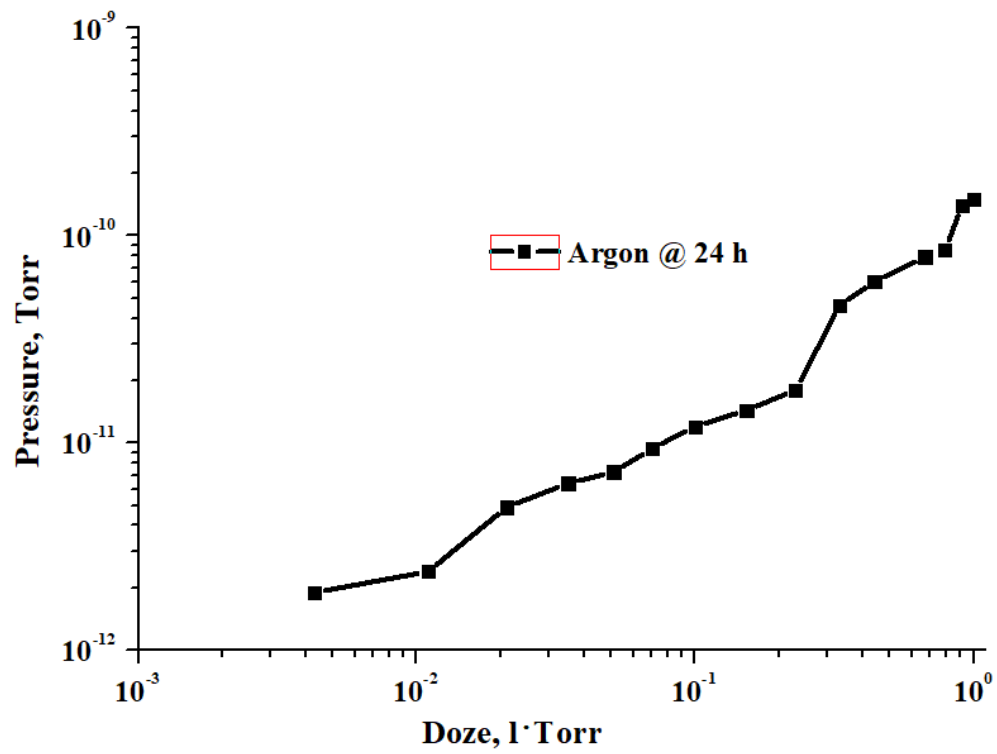


Рис. 5

**Для связи с авторами:**

Семенов Алексей  
Тел.: (383)329-42-02  
Факс: (383)330-71-63  
E-mail: A.M.Semenov@inp.nsk.su  
Краснов Александр  
E-mail: a.a.krasnov@inp.nsk.su

**~~Для переводчика:~~**

**~~THE MODERN COMBINED ULTRA HIGH VACUUM PUMPS FOR SRF “SKIF”~~**

**~~A. M. Semenov<sup>1,2</sup>, A. A. Krasnov<sup>1,3</sup>~~**

~~<sup>1</sup>Budker Institute of Nuclear Physics of Siberian Branch Russian Academy of Sciences  
Russia, 630090, Novosibirsk, Acad. Lavrentieva pr., 11~~

~~<sup>2</sup>Novosibirsk State Technical University  
Russia, 630073, Novosibirsk, pr. K. Marksa, 20~~

~~<sup>3</sup>Novosibirsk State University, Novosibirsk, Russia  
Russia, 630090, Novosibirsk, Pirogova str., 1~~

~~In the present time, combined UHV pumps, i.e. pumps based on non-evaporable getters and sputter ion pumps in one housing, are widely applied in vacuum systems of charged particle accelerators. This type of pump will be used in the 4+ generation synchrotron at the Siberian Ring Source of Photons shared resource center. A prototype of the combined pump with a hydrogen pumping speed of 1000 l/s has been manufactured and tested at Budker INP SB RAS. This paper describes design and testing results of the pump.~~

**~~ЛИТЕРАТУРА~~**

~~3. Manini P., Maccallini P. // Proceedings of the 2017 CERN Accelerator School course on a Vacuum for Particle Accelerators. Glumslöv, 2017. P. 137.~~